

## การทำความเย็นโดยการแปรรังสีสู่ห้องฟ้า

Sky radiative cooling

โอกาส	โภนลรัตนานาพันธุ์ *
สมบูรณ์	พีಠາරັບ **
ชนาคม	ສຸນທະຫົວນາຄແສງ ***
ศຸກສາຕີ	ຈົງໄກມູລບໍວັດນະ ****

### บทคัดย่อ

ในการศึกษาการทำความเย็น โดยอาศัยหลักการแปรรังสีความร้อนสู่ห้องฟ้า สำหรับสภาวะภูมิอากาศท้องถิ่นของไทย โดยทำการทดลองเบื้องต้น พบว่าสามารถทำให้ห้องในลิขั้งงานมีอุณหภูมิที่กว่าอุณหภูมิอากาศในตอนกลางคืนໄก็ประมาณ  $10^{\circ}\text{C}$  จากการทดลองเหล่านี้แสดงให้เห็นว่า การทำความเย็นคือวิธีนี้เป็นไปได้ทั้งทางค้านเทคนิค และค้านเศรษฐศาสตร์ การศึกษาครั้งนี้จะนำไปใช้เป็นพื้นฐานในการทำวิจัยในด้านนี้อย่างจริงจังท่อไป

- \* อาจารย์คณะวิศวกรรมศาสตร์ มหาวิทยาลัยศรีปทุม และนักศึกษามัญฑิศศึกษาสถาบันเทคโนโลยีพระจอมเกล้าฯ พระนครเหนือ
- \*\* รองศาสตราจารย์ ภาควิชาวิศวกรรมเครื่องกล คณะวิศวกรรมศาสตร์ สถาบันเทคโนโลยีพระจอมเกล้าฯ พระนครเหนือ
- \*\*\* อาจารย์ ภาควิชาวิศวกรรมเครื่องกล คณะวิศวกรรมศาสตร์ สถาบันเทคโนโลยีพระจอมเกล้าฯ พระนครเหนือ
- \*\*\*\* แผนกพลังงาน สถาบันเทคโนโลยีแห่งเอเชีย

## 1. บทนำ

สมดุลย์ในการความร้อนของโลก เกิดขึ้นระหว่างการรับพลังงานจากการแพร่รังสีความร้อนของดวงอาทิตย์ และการแพร่รังสีความร้อนออกจากตัวโลกเอง [1] ซึ่งปริมาณความร้อนทั้งสองส่วน จะมีจำนวนเท่ากัน จึงทำให้โลกอยู่ในสภาวะสมดุลย์ทางความร้อน

ในอดีตที่ผ่านมา มีการพัฒนาอย่างต่อเนื่องเพื่อนำพลังงานความร้อนจากดวงอาทิตย์ มาใช้ประโยชน์อย่างกว้างขวาง ทั้งในด้านการทำความร้อนและการทำความเย็น แต่ประโยชน์จากการแพร่รังสีความร้อนจากตัววัตถุพิวโลก (สู่อากาศ) ยังไม่มีการศึกษาและนำมาใช้ให้เกิดประโยชน์มากนัก

ในการทำความเย็นให้ต่ำกว่าอุณหภูมิอากาศ โดยปกติจะเป็นจะต้องอาศัยวัสดุจัดการเทอร์โมไดนามิกส์ สารทำงาน (Working Substance) และอุปกรณ์ที่มีความยุ่งยากซับซ้อนอีกหลายชิ้น ทำให้ระบบทำความเย็นมีราคาแพง มีหลักการทำงานที่ยุ่งยาก และบำรุงรักษายาก

แต่ถ้าใช้ประโยชน์จากการแพร่รังสีความร้อนจากพิวโลก (ต่อไปจะเรียกว่า การแพร่รังสีความร้อน กับห้องฟ้า) เพื่อใช้ในการทำความเย็น ก็สามารถทำความเย็นได้โดยตรง โดยไม่ต้องอาศัยวัสดุจัดการเทอร์โมไดนามิกส์ที่ยุ่งยากซับซ้อนอีกด้วย แล้วทำให้ระบบทำความเย็นมีราคาถูกลงมาก สำหรับในสภาวะอากาศเมืองร้อนอย่างประเทศไทย อุปกรณ์ทำความเย็นที่มีราคาถูก ไม่ลึกลึกลงพลังงาน มีหลักการทำงานง่ายๆ ย่อมเป็นอุปกรณ์ที่น่าสนใจพัฒนาขึ้นใช้ต่อไป

Exe11 [2] จากสถาบันเทคโนโลยีแห่งเวชัย ได้เคยศึกษาถึงการแพร่รังสีความร้อนจากห้องน้ำ บรรยายกาศของประเทศไทย และได้คำนวณอุณหภูมิห้องฟ้าในประเทศไทย ขณะไม่มีเมฆของจังหวัดในภาคต่างๆ ดังแสดงไว้ในตารางที่ 1

จากข้อมูลของ Exe11 ทำให้สามารถคำนวณหาค่าการแพร่รังสีความร้อนกับห้องฟ้าของ วัตถุดำ ที่มีอุณหภูมิ T ได้ตามสมการที่ 5 (ดูในหัวข้อต่อไป) รูปที่ 1-4 แสดงถึงจำนวนพลังงานที่จะนำมาทำความเย็นได้ เมื่อวัตถุดำมีอุณหภูมิต่ำกว่าอุณหภูมิอากาศ ตามลักษณะของประเทศไทย ตามตารางที่ 1 จากรูปที่ 1-4 จะเห็นได้ว่า ถ้าอุณหภูมิในการทำความเย็นไม่ต่ำกว่าอุณหภูมิของอากาศมากนัก โอกาสใน

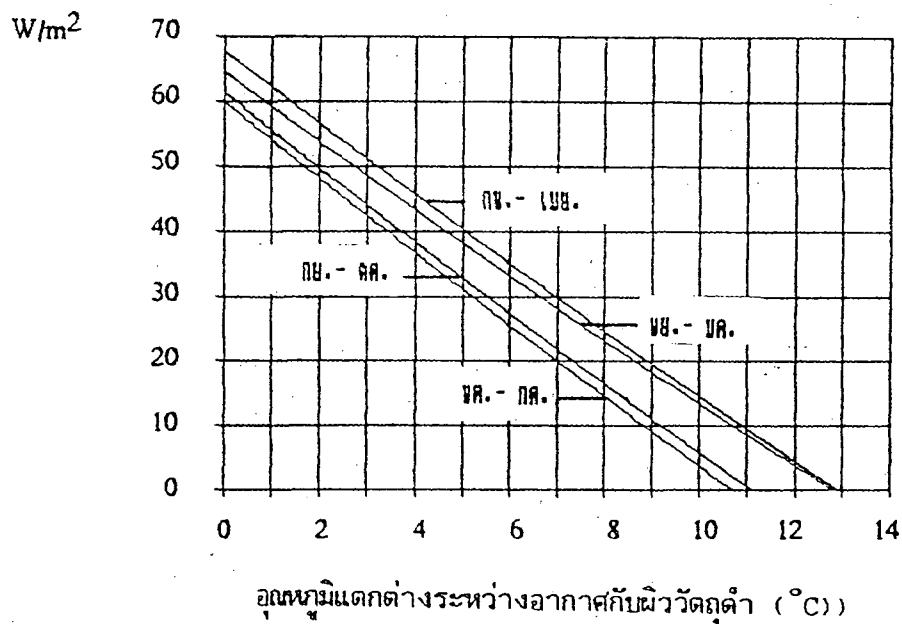
ตารางที่ 1 อุณหภูมิอัลลงฟ์  $T_u$  ( $^{\circ}\text{C}$ ) แห้งก้องฟ้าไปร่าง เปรียบเทียบกับอุณหภูมิอากาศ  $T$  ( $^{\circ}\text{C}$ ).  $\text{Diff} = T - T_u$

	เรืองไนย			ลมตราสัปน์			กรุงเทพฯ			สงขลา			
	T	$T_u$	Diff	T	$T_u$	Diff	T	$T_u$	Diff	T	$T_u$	Diff	
27 ก.ค. - 12 ส.ค. กลางวัน (ฤดูใบไม้ผลิ)	กลางวัน	35.6	18.2	17.4	35.5	20.7	14.8	34.2	21.3	12.4	31.8	18.3	13.5
	กลางคืน	18.3	5.4	12.9	22.3	11.2	11.6	24.8	14.2	10.6	24.0	12.5	11.5
29 ต.ค. - 12 พ.ค. กลางวัน (ฤดูร้อน)	กลางวัน	31.9	18.9	13.0	32.4	19.8	12.8	32.6	20.6	12.0	32.7	20.0	12.7
	กลางคืน	23.4	12.7	10.7	24.4	14.0	10.4	24.8	14.8	10.0	23.8	13.3	10.5
1 ก.ค. - 18 ต.ค. กลางวัน (ฤดูใบไม้ร่วง)	กลางวัน	30.8	17.4	13.4	31.2	18.2	13.0	31.6	19.4	12.2	31.8	19.2	12.6
	กลางคืน	22.3	11.2	11.1	23.4	12.5	10.9	24.2	14.1	10.1	23.5	12.9	10.6
30 เม. - 13 ม.ค. กลางวัน (ฤดูหนาว)	กลางวัน	28.7	13.0	15.7	30.5	14.9	15.6	31.3	17.1	14.2	29.3	16.3	13.0
	กลางคืน	14.3	1.5	12.8	17.5	5.2	12.3	20.6	9.0	11.6	23.8	12.4	11.4

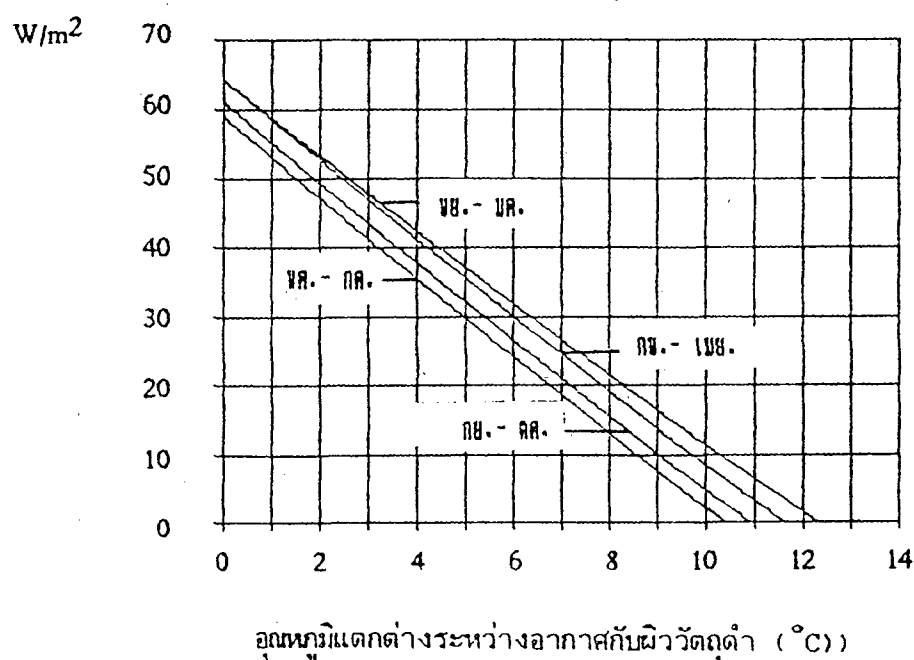
ตารางที่ 2 อุณหภูมิอากาศส่วนตัว [เฉลี่ยในเมืองเดือน ( $^{\circ}\text{C}$ )] (ดูจากรายงานอากาศประจำเดือน กรมศูนย์อุตุนิยมวิทยาแห่งประเทศไทย)

	เรืองไนย	ลมตราสัปน์	กรุงเทพฯ	สงขลา
มกราคม	13.2	16.7	20.3	24.1
กุมภาพันธ์	14.1	18.6	22.8	24.1
มีนาคม	17.1	21.6	24.4	24.1
เมษายน	20.7	23.6	24.9	24.1
พฤษภาคม	23.2	24.0	25.1	24.3
มิถุนายน	22.5	24.1	25.0	24.0
กรกฎาคม	22.2	23.7	24.6	23.5
สิงหาคม	23.1	23.7	24.5	23.6
กันยายน	22.6	23.5	24.3	23.4
ตุลาคม	21.4	22.0	24.0	23.5
พฤศจิกายน	18.3	20.1	22.9	23.6
ธันวาคม	14.3	17.2	20.4	23.7

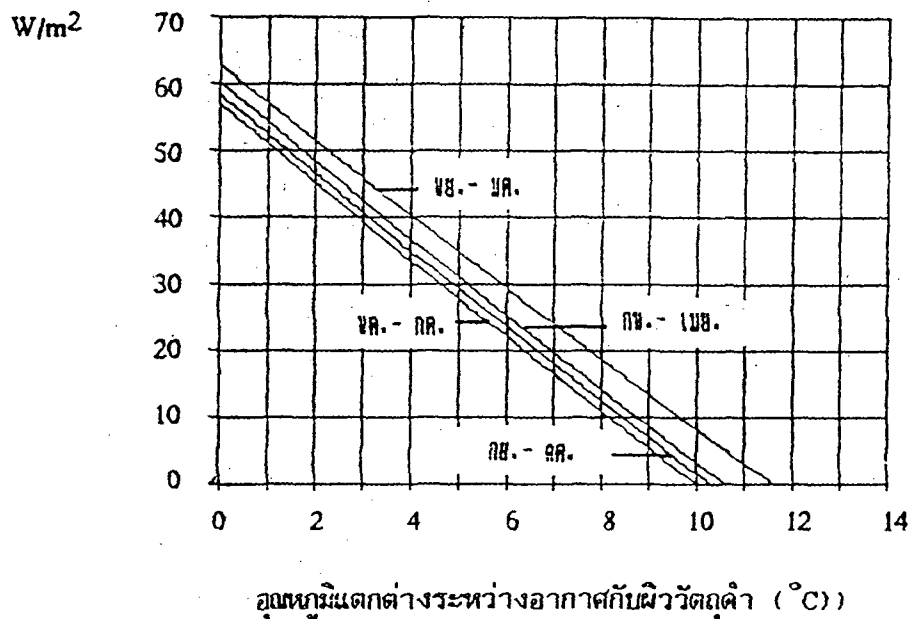
รูปที่ 1 ผลลัพธ์ความร้อนสุกชักที่วัดถูกคำนวณรังสีอุ่นจากตัวเอง  
ภายใต้สภาวะของอากาศที่จังหวัดเชียงใหม่ ในเวลากลางคืน



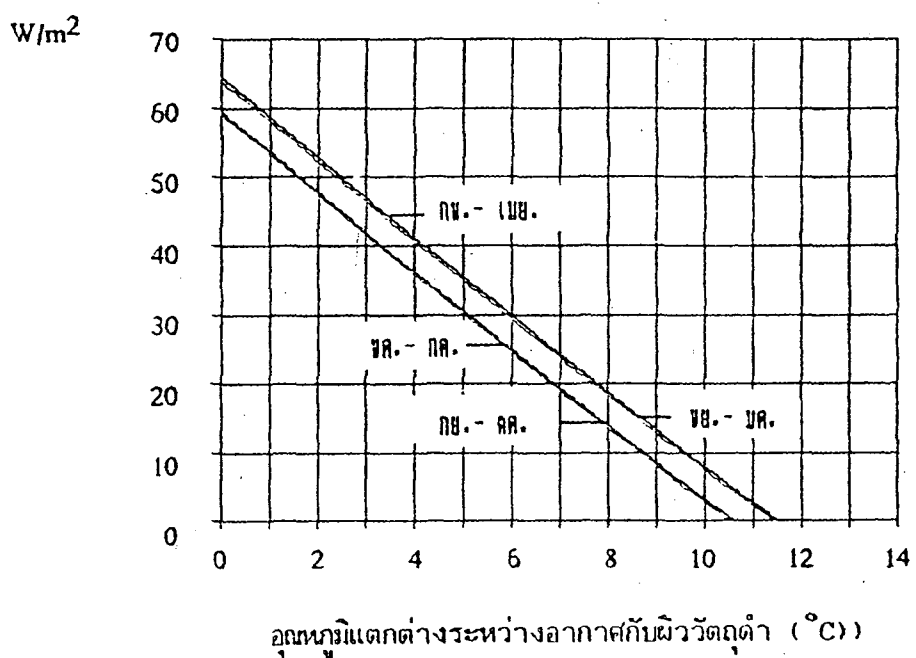
รูปที่ 2 ผลลัพธ์ความร้อนสุกชักที่วัดถูกคำนวณรังสีอุ่นจากตัวเอง  
ภายใต้สภาวะของอากาศที่จังหวัดอุบลราชธานี ในเวลากลางคืน



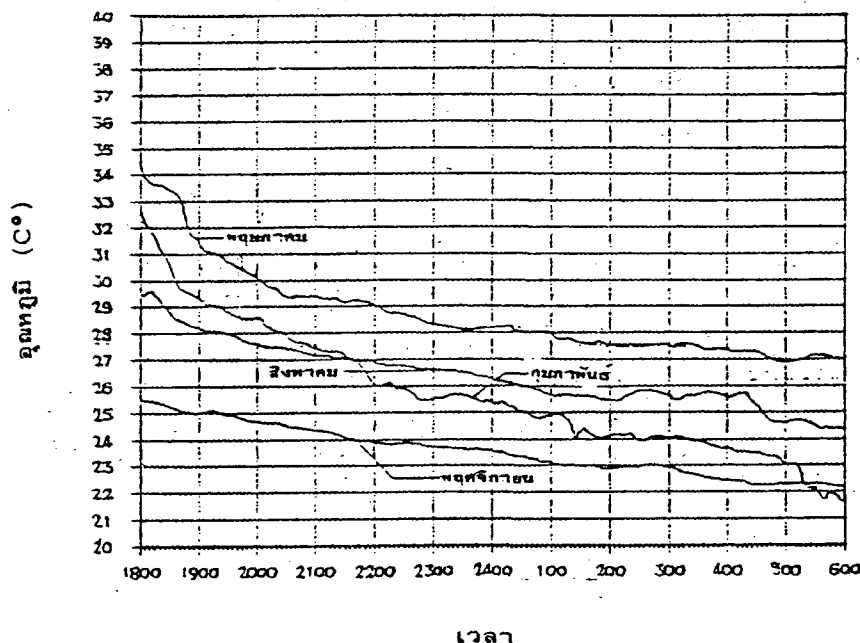
รูปที่ 3 พลังงานความร้อนสุกค์ที่วัตถุคำแม่รังสีออกจากตัวเอง  
ภายใต้สภาวะของอากาศที่กรุงเทพมหานคร ในเวลากลางคืน



รูปที่ 4 พลังงานความร้อนสุกค์ที่วัตถุคำแม่รังสีออกจากตัวเอง  
ภายใต้สภาวะของอากาศที่จังหวัดสงขลา ในเวลากลางคืน



รูปที่ 5: อุณหภูมิอากาศในตอนกลางคืนของกรุงเทพฯ  
ข้อมูลจากสถานีอุตุนิยม สถาบันเทคโนโลยีแห่งเอเชีย จ.ปทุมธานี



การคำนวณยังคงเป็นไปได้ และจะทำได้ตลอดทั้งปี รูปที่ 5 แสดงถึงอุณหภูมิอากาศในตอนกลางคืนของกรุงเทพฯ บางวันในแต่ละช่วงฤดูกาล ข้อมูลจากสถานีอุตุนิยม สถาบันเทคโนโลยีแห่งเอเชีย ตารางที่ 2 แสดงให้เห็นถึงอุณหภูมิอากาศเฉลี่ยต่อสุ่นในแต่ละเดือนในภาคต่างๆ ของประเทศไทย

## 2. กฎภูมิเบื้องต้น

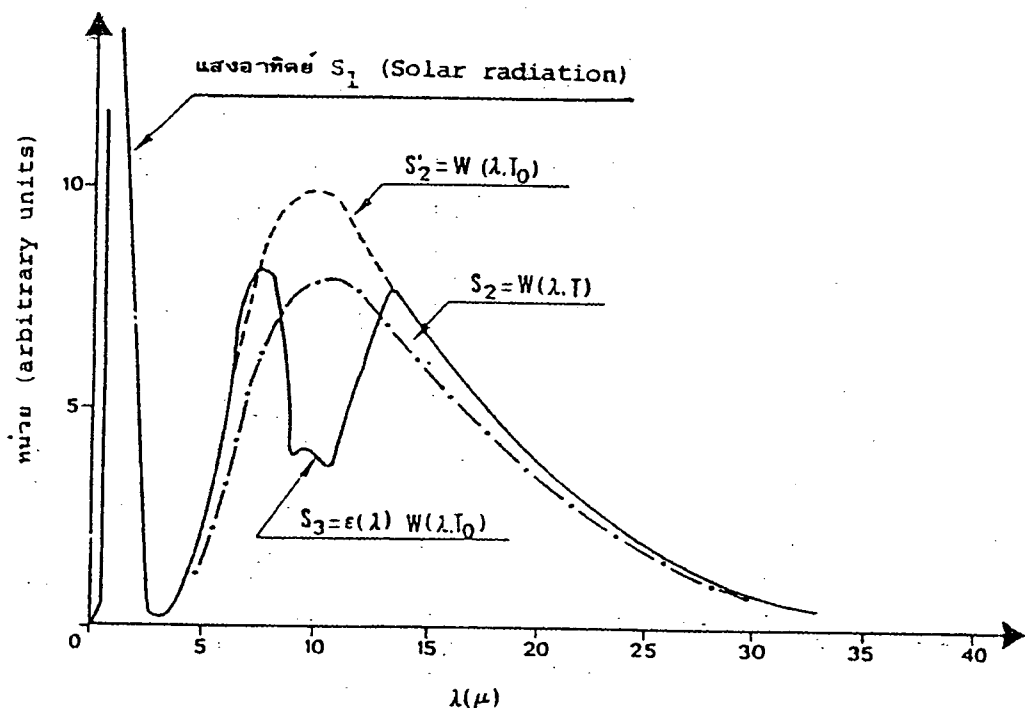
ถ้าเราพิจารณาวัตถุดำที่มีอุณหภูมิ  $T$  วางอยู่ในแนวระดับแนวโน้มหันหน้าสู่ท้องฟ้า วัตถุดำที่มีอุณหภูมิ  $T$  ก็จะแผ่รังสีความร้อนออกจากการตัวเองตามกฎของ Stefan - Boltzmann [3] เท่ากับ

$$E_b = \int_0^{\infty} E_{\lambda} d\lambda = \sigma T^4 \quad \dots \dots \dots \quad (1)$$

ในขณะเดียวกันวัตถุดำก็จะรับพลังงานความร้อนจากการแผ่รังสีมาจากท้องฟ้า ซึ่งพลังงานจากท้องฟ้าจะประกอบด้วย พลังงาน 2 ส่วน [1] คือ ในย่านความยาวคลื่นของพลังงาน ( $\lambda$ )  $< 2.5 \text{ ไมครอน}$  ( $T_s$ ) เป็นพลังงานจากการแผ่รังสีความร้อนของดวงอาทิตย์ และในย่านความยาวคลื่นของพลังงาน ( $\lambda$ )

> 2.5 แມ ( $S_3$ ) เป็นผลลัพธ์จากการแผ่รังสีความร้อนของชั้นบรรยากาศคือโลกซึ่งมีอุณหภูมิ  $T$  ครูปที่ 6, เส้นทิบต้อผลลัพธ์จากการแผ่รังสีจากห้องฟ้า สำหรับเส้นประ  $S_2$  ในรูปที่ 1 แสดงถึงผลลัพธ์การแผ่รังสีออกจากรัศมี  $T$  เส้นประ  $S_2$  และถึงการแผ่รังสีความร้อนของวัตถุดำที่มีอุณหภูมิเท่ากับอุณหภูมิบรรยากาศคือ  $T$ 。

รูปที่ 6 ความเข้มของการดูดซับ และเปล่งรังสี ของวัตถุดำภายใน ให้สภาวะสมดุลย์ของอุณหภูมิ



จะเห็นได้ว่าผลลัพธ์จากการแผ่รังสีความร้อนของชั้นบรรยากาศ ( $S_3$ ) แตกต่างจากวัตถุดำที่มีอุณหภูมิเท่ากัน ( $S_2$ ) โดยเฉพาะในย่านความยาวคลื่น 8-13 μm จะแผ่รังสีผลลัพธ์จำนวนมาก เราเรียกช่วงนี้ว่าหน้าต่างผ่านแสง (Transparency Window) ซึ่งทำให้วัตถุดำมีอุณหภูมิต่ำกว่าบรรยากาศ สามารถที่จะแผ่รังสีความร้อนออกจากตัวเองได้ ผลลัพธ์ความร้อนสุทธิที่วัตถุดำแผ่รังสีออกจากตัวเองได้ เมื่อไม่มีผลลัพธ์จากดวงอาทิตย์ คือ

$$R_b = \int_0^{\infty} S_2 d\lambda - \int_0^{\infty} S_3 d\lambda \quad \dots \dots \dots \quad (2)$$

จาก (1) สมการ (2) สามารถเขียนใหม่ได้ว่า

$$R_b = \sigma T^4 - \bar{\epsilon} \sigma T_0^4 \quad \dots \dots \dots \quad (3)$$

ε คือ ค่าการแผ่รังสีของท้องฟ้า (Emissivity of sky)

ถ้ากำหนดให้

$$\bar{\epsilon} = (T_s/T_0)^4 \quad \dots \dots \dots \quad (4)$$

T<sub>s</sub> คือ อุณหภูมิของท้องฟ้าเปรียบเทียบ (equivalent sky temperature)

จาก (3) จะได้

$$R_b = \sigma (T^4 - T_s^4) \quad \dots \dots \dots \quad (5)$$

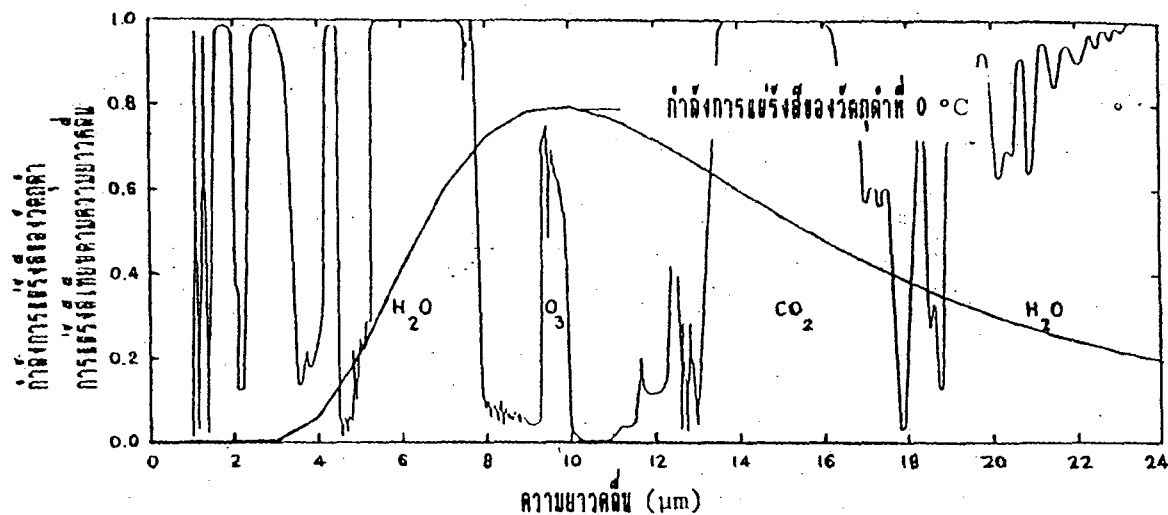
เป็นผลลัพธ์ความร้อนสุทธิที่วัดถูกคำว่าอุณหภูมิ T สามารถแผ่รังสีความร้อนออกจากตัวเองเมื่อท้องฟ้ามีอุณหภูมิ T<sub>s</sub> ค่า R<sub>b</sub> นี้สำหรับสภาพอากาศในเมืองไทย และอุณหภูมิท้องฟ้าที่คำนวณโดย Excel ได้แสดงไว้ตามในรูปที่ 1-4

สำหรับผู้ใดที่ไม่ใช่วัตถุคำและมีค่าการแผ่รังสี ε = ε ค่าการแผ่รังสีความร้อนสุทธิออกจากตัวเองคือ

$$R_b = \epsilon \sigma (T^4 - T_s^4) \quad \dots \dots \dots \quad (6)$$

การคำนวณอุณหภูมิท้องฟ้า หรือการแผ่รังสีของชั้นบรรยากาศ จะต้องทราบค่าการแผ่รังสีของก๊าซต่างๆ ที่เป็นส่วนผสมของอากาศในชั้นบรรยากาศ ก๊าซที่มีส่วนสำคัญต่อการแผ่รังสีมี 3 ชนิดคือ ไอน้ำ คาร์บอนไดออกไซด์ และโอโซน ค่าการแผ่รังสีของก๊าซทั้ง 3 ชนิดได้แสดงไว้ในรูปที่ 7

รูปที่ 7 ค่าการเปล่งรังสีของบรรยายกาศ ที่อุณหภูมิ  $0^{\circ}\text{C}$  และผลลัพธ์ของการแผ่รังสีความร้อนของวัตถุดำ ตามกฎของ Planck ที่อุณหภูมิเท่ากัน



จะเห็นได้ว่าค่าการแผ่รังสีของก๊าซทั้ง 3 แตกต่างกันอย่างมากที่ความยาวคลื่นต่างๆ กัน จึงทำให้ยกที่จะวิเคราะห์ค่าการแผ่รังสีความร้อน จากข้อมูลบรรยายกาศได้โดยตรง [4] จึงได้มีผู้ทดลองและสร้างสมการจากผลการทดลอง (Empirical) เพื่อหาค่าการแผ่รังสีของบรรยายกาศไว้จำนวนมาก ยกตัวอย่างเช่น

- 1918 Angstrom

$$\epsilon_0 = 0.25 - 0.32 \times 10^{-0.052e}$$

e = ความดันไอน้ำ (millibars)

- 1963 Swinbank [4]

$$\epsilon_0 = 9.367 \times 10^{-7} T_o^{-2}$$

T<sub>o</sub> = อุณหภูมิบรรยายกาศ (K)

- 1969 Sherwood B. Idso and Ray D. Jackson [4]

$$\epsilon_0 = 1 - 0.261 \exp [-7.77 \times 10^{-4} (273 - T_o)^2]$$

- 1987 Melchor Centro V. [5]

$$\varepsilon_0 = [5.7723 + 0.9555 (0.6017)^z] \times T_0^{1.893} \times H^{0.0665} \times 10^{-4}$$

โดย  $z$  = ระดับความสูง (km)

$H$  = ความชื้นสัมพัทธ์ (%)

- 1983 Paul Perdahl and Mario Martin [6]

$$\varepsilon_0 = 0.711 + 0.56 (T_{dp}/100) + 0.73 (T_{dp}/100)^2$$

$T_{dp}$  = อุณหภูมิหน้าค้าง (C)

สมการข้างต้นเหล่านี้ ค่าคงที่ในสมการไม่ซึ้งกับสภาพท้องที่ในการวัด จึงสามารถนำไปใช้คำนวณหาค่าการแผ่รังสีของชั้นบรรยากาศ (Sky Emissivity) ได้ในทุกท้องที่ ที่ขาดแคลนเครื่องมือวัด

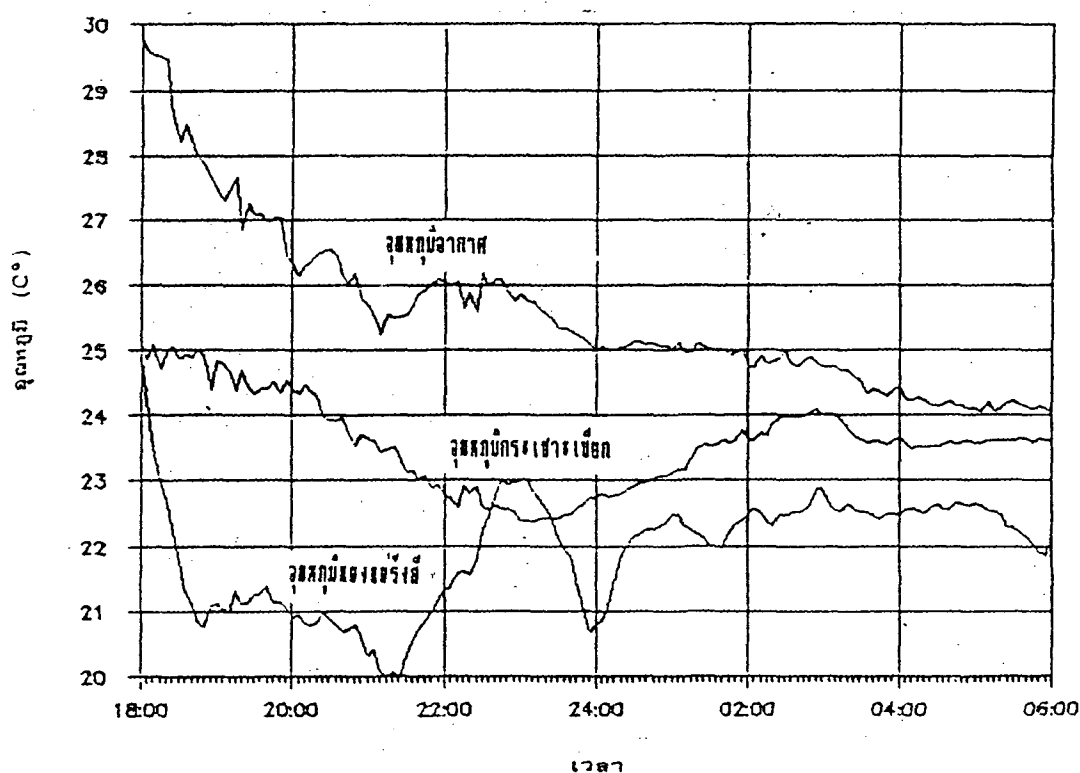
### 3. การทดลองเบื้องต้น

ได้ทำการทดลองวัดอุณหภูมิของแผ่นแม่ร้อน ที่เป็นโลหะแผ่นเรียบขนาด  $30 \times 30 \text{ cm}^2$  หนา 1 mm. กาลิ่ต้า และสีขาวเงินสีท่อนแสง ตัวบนคลุมด้วยแผ่นอลูมิโนลีเวิ๊กหลังจากแผ่นโลหะประมาณ 2 cm. ตัวข้างและล่างหุ้มด้วยฟิมหนาประมาณ 15 cm. ทดลองในตอนกลางคืน เมื่อวันที่ 20, 21 และ 22 มกราคม 2532 ที่สถาบันเทคโนโลยีแห่งเอเชีย จ.ปทุมธานี ซึ่งผลการทดลองได้แสดงให้เห็นตามในรูปที่ 8, 9 และ 10 ผลของอุณหภูมิที่วัดได้ของแผ่นที่กาสีขาวจะก้อนแสง มีลักษณะใกล้เคียงกับที่กาสีดำ จึงมิได้แสดงผลไว้

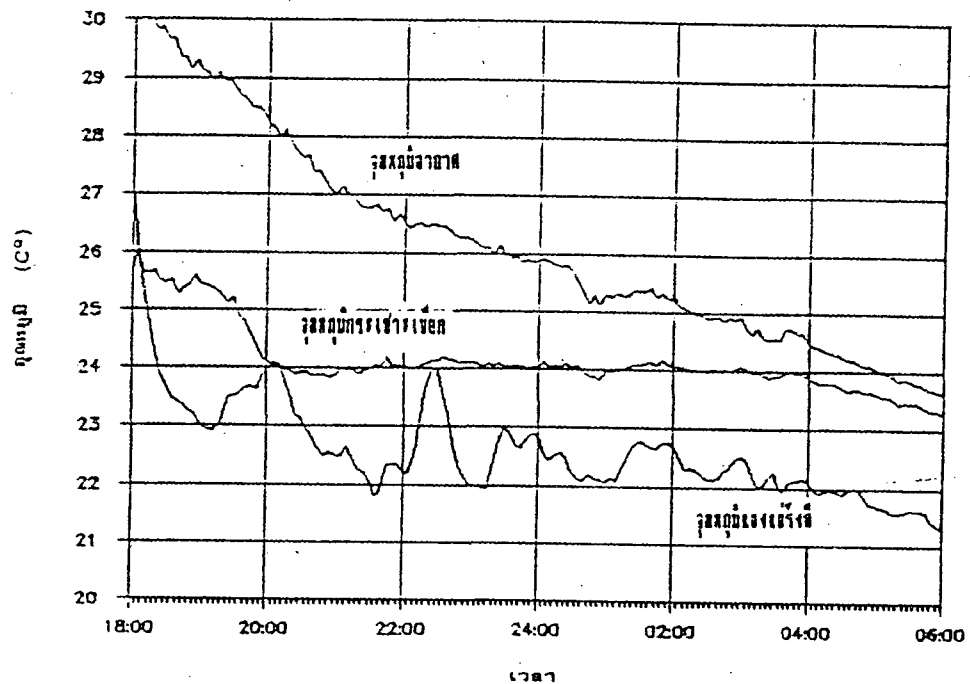
จากการทดลองจะเห็นได้ว่า อุณหภูมิแตกต่างของแผ่นโลหะกับอากาศ ในบางช่วงเวลาอาจสูงถึง  $7^\circ\text{C}$  และอุณหภูมิของแผ่นโลหะในตอนกลางคืน จะต่ำกว่าอุณหภูมิอากาศในตอนกลางวันประมาณ  $10^\circ\text{C}$

การทดลองอีกครั้งทำเมื่อวันที่ 18 และ 19 กุมภาพันธ์ 2532 ที่วิสาหกิริยาแห่งชาติภูเรือ จ.เลย ในระดับความสูงจากระดับน้ำทะเล 850 เมตร และ 1365 เมตร โดยใช้อุปกรณ์ทดลองชุดเดียวกัน แต่แบ่งที่มาสืบได้สำนักงานสืบสานวิทยาศาสตร์ สำนักสิ่งแวดล้อมและความร้อน ผลการทดลองตามตารางที่ 3 และ 4 จะเห็นได้ว่า แม้สภาพท้องฟ้ามีเมฆมาก และลมแรงจัด อุณหภูมิแตกต่างระหว่างแผ่นโลหะกับอากาศ ก็ยังมีมากถึง  $8^{\circ}\text{C}$  หรืออุณหภูมิแปรผันสูงประมาณ  $10^{\circ}\text{C}$

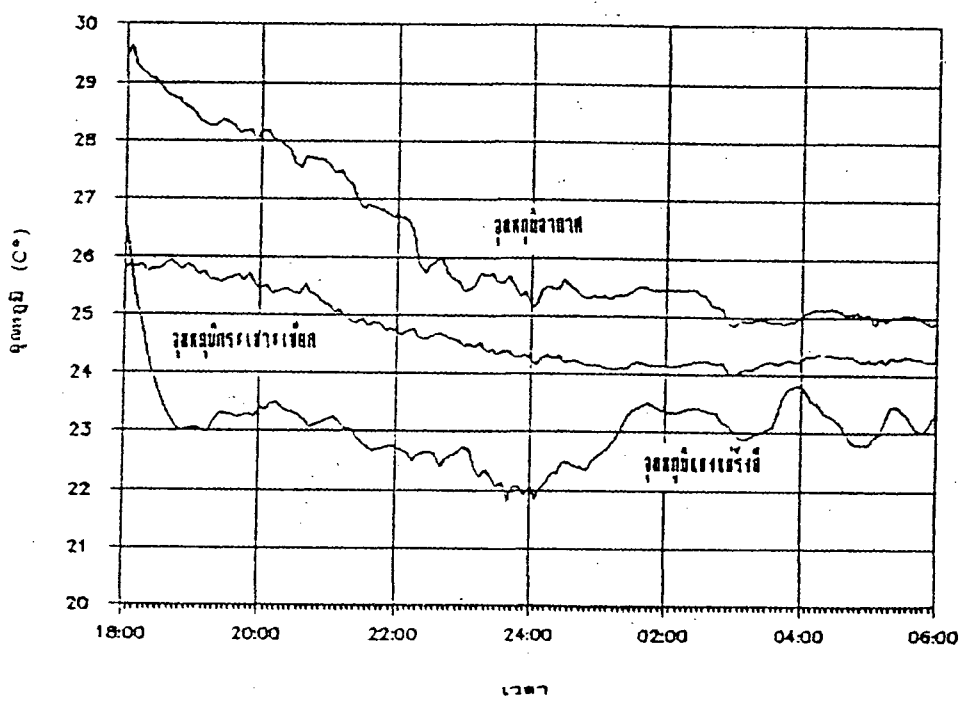
รูปที่ ๘: ผลการทดลองที่สถานีเทคโนโลยีแห่งเอเชีย จ.ปทุมธานี วันที่ 20-21 มกราคม 2532



รูปที่ 9: ผลการทดลองที่สถานีน้ำฝนโนโลยีแห่งเวชัย จ.ปทุมธานี  
วันที่ 21-22 มกราคม 2532



รูปที่ 10: ผลการทดลองที่สถานีน้ำฝนโนโลยีแห่งเวชัย จ.ปทุมธานี  
วันที่ 22-23 มกราคม 2532



ตารางที่ 3: ผลการทดสอบหัวนวุตยานแม่เหล็กดูดเรือ จ. เชียงใหม่  
วันที่ 18-19 กุมภาพันธ์ 2532

เวลา	T1 (ลิตร)	T2 (ลิตร)	Ta (dry)	Tw (wet)	สภาพห้องฟ้า	DT1 (Ta - T1)
18:00	18.5	20.2	23.2	15.0	ห้องฟ้าปิด	4.7
18:30	16.2	18.1	22.1	14.7	"	5.9
19:00	15.3	17.0	21.8	14.3	"	6.5
19:30	14.8	16.4	20.7	14.1	"	5.9
20:00	14.4	16.0	20.7	14.0	"	6.3
20:30	14.1	15.7	20.5	13.5	"	6.4
21:00	13.3	15.1	19.8	13.0	"	6.5
22:00	13.4	14.9	19.4	12.9	"	6.0
23:00	13.2	14.6	19.4	12.9	"	6.2
24:00	13.0	14.4	18.8	13.4	"	5.8
02:00	12.7	14.2	18.2	13.8	"	5.5
04:00	11.9	13.3	18.0	13.5	"	6.1
06:00	12.2	13.5	18.3	13.4	"	6.1
06:30	12.2	13.6	17.9	13.4	"	5.7

วางแผง radiator ตามที่ 10 หันไปทางทิศเหนือ สถานที่ตั้งมีดินไม้สูงอยู่ถึงชั้น 2-3 ต้น มีบ่อ  
จากคันไนเก็ก ห้องฟ้าปิดร่อง ลมแรง การทดสอบหัวที่บริเวณที่ทำการซ่อนอยุทยาและเรือ ได้ ร.  
ระดับความสูงจากระดับน้ำทะเล 850 เมตร

ตารางที่ 4: ผลการทดสอบหัวนวุตยานแม่เหล็กดูดเรือ จ. เชียงใหม่  
วันที่ 19-20 กุมภาพันธ์ 2532

เวลา	T1 (ลิตร)	T2 (ลิตร)	Ta (dry)	Tw (wet)	สภาพห้องฟ้า	DT1 (Ta - T1)
20:45	12.9	15.3	20.3	13.2	ลมแรง ป่าครึ่ง	7.4
21:00	12.5	14.7	20.2	13.0	"	7.7
21:30	12.1	14.2	20.0	12.9	"	7.9
22:00	12.0	14.1	20.0	12.9	"	8.0
23:00	11.4	13.6	19.5	12.5	"	8.1
24:00	11.4	13.6	19.8	12.8	"	8.4
02:00	11.7	13.8	19.5	12.7	"	7.8
04:00	11.7	13.7	18.7	12.4	"	7.0
06:00	10.7	12.8	17.5	12.4	เมฆมาก ลมแรงมาก	6.9
06:30	10.6	12.4	17.4	12.4	เมฆสูง ห้องฟ้า	6.8

วางแผง radiator บนแพาระนาข อายุไม่ถึง 1 ปี สถานที่ตั้งห้องน้ำครึ่ง มีบ่อรองจากคันไนเก็ก  
ลมแรงจัด ห้องเปียกคืนเมื่อเช้า บีบเนื้อน้ำลงปกคลุมหัวห้องฟ้า สถานที่ทดสอบอยู่ดูดเรือ ความสูง  
จากระดับน้ำทะเล 1365 เมตร

#### 4. การวิจารณ์ผล

จากหลักการและผลการทดลองเบื้องต้นที่กำเนิดให้เห็นว่า การทำความเย็นโดยการแผ่รังสีกับห้องฟ้าบ้าน มีความเป็นไปได้สูง และอาจพัฒนาให้ใช้งานจริงได้โดยไม่ยากนัก จากผลการทดลองที่กล่าวเรื่อง อุณหภูมิที่สามารถทำได้อยู่ในช่วง  $10^{\circ}\text{C}$  ทั้งที่มีเมฆมาก ลมแรง และมีฝนลงจากครัวไฟมาก ประกอบกับ อุปกรณ์ยังมีได้สร้างขึ้นอย่างถูกต้องสมบูรณ์ตามหลักการทำงานวิศวกรรมศาสตร์ ในลักษณะ เช่นนี้ ถ้ายอมรับได้ว่าอุณหภูมิของน้ำเย็นที่ทำได้ จะอยู่ในระดับอุณหภูมนี้ และหากเก็บน้ำเย็นนี้ไปใช้ในตอนกลางวันในเวลาใกล้เที่ยง ความเย็นนี้จะสามารถนำไปใช้งานได้ในระดับประมาณ  $15^{\circ}\text{C}$  ซึ่งจะนำไปใช้งานได้หลายอย่าง เช่น ใช้ทำความเย็นสำหรับน้ำดื่ม ทำห้องเย็นที่ใช้ในการเก็บผลิตผลทางการเกษตร ใช้ทำความเย็นช่วงแรก (Precool) ให้กับเครื่องทำความเย็น หรือใช้ทำความเย็นสำหรับอาคารบางประเภท

#### 5. งานที่จะทำต่อไป

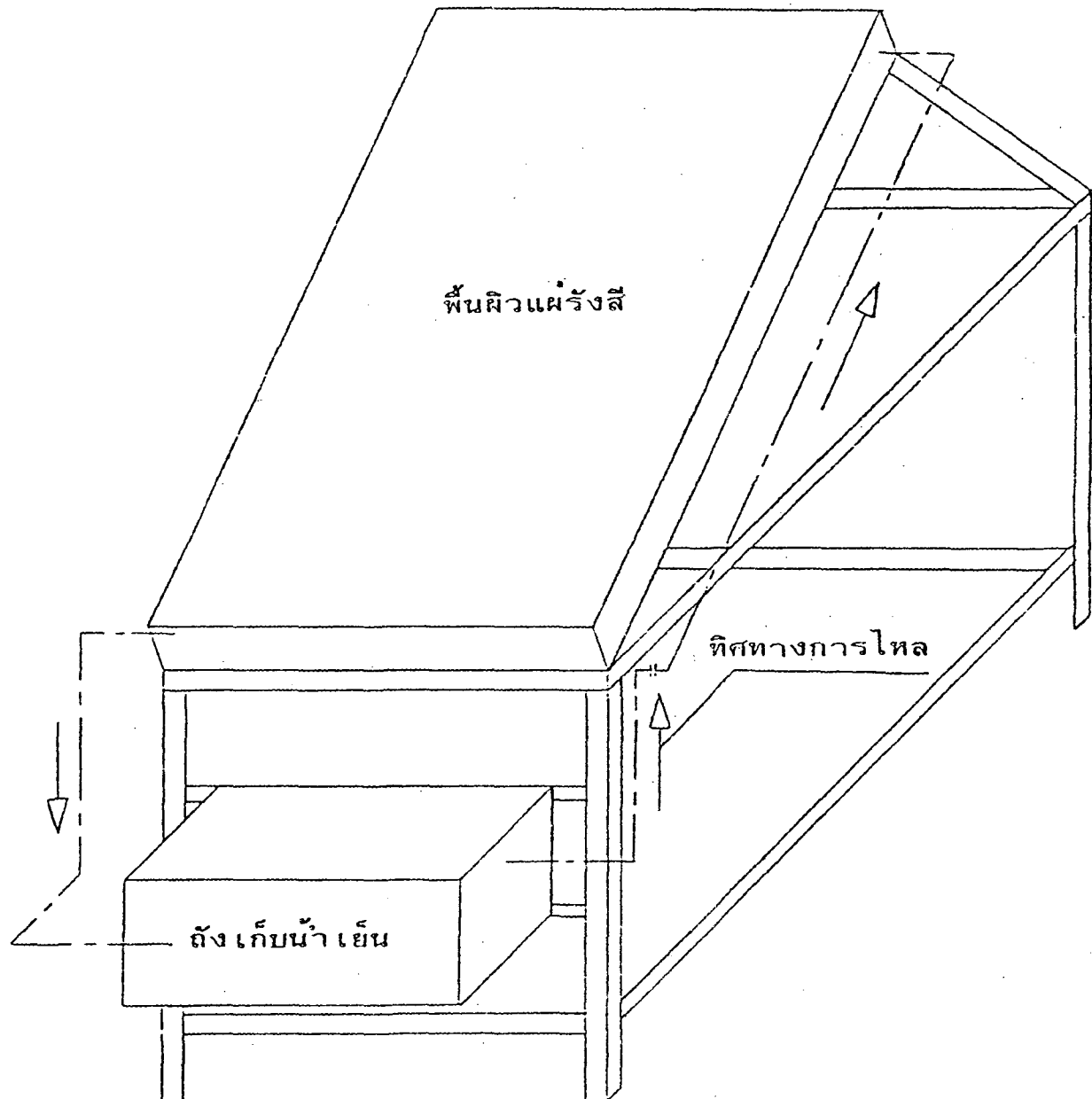
จากผลงานที่ผ่านมา คณะผู้เขียนจะศึกษาเรื่องนี้อย่างจริงจัง โดยการตั้งวัตถุประสงค์ของการวิจัยดังนี้

1. ศึกษาและทดลองการทำความเย็น โดยวิธีการแผ่รังสีพลังงานความร้อนกับห้องฟ้า
2. สร้างสมการการทำงานคณิตศาสตร์ของอุปกรณ์ทำความเย็นที่ใช้ทดลอง และจำลองการทำงาน (simulation) ด้วยคอมพิวเตอร์

จากวัตถุประสงค์นี้ จะทำการสร้างอุปกรณ์ทดลองดังรูปที่ 11 จำนวน 2 ชุด โดยแผ่รังสีกับห้องฟ้าชุดหนึ่งจะทดสอบ และอีกชุดหนึ่งจะทดสอบ โดยจะทำการทดลองเพื่อศึกษา

- พลังงานที่ใช้ประโยชน์ได้
- ประสิทธิภาพของอุปกรณ์ทำน้ำเย็น
- ตัวแปรที่มีผลต่อประสิทธิภาพของการทำความเย็น เช่น หมุนเวียนของแสงแผ่รังสีความร้อน อัตราไหลของน้ำผ่าและแผ่รังสีความร้อน และชนิดของสารเคลื่อนผิว ซึ่งในการนี้จะใช้สีดำ ด้านและลิขานิด  $\text{T}_{\text{CO}_2}$

รูปที่ 11: ลักษณะของอุปกรณ์สำหรับเย็บที่ใช้ในการทดสอบ



## **6. สรุป**

จากการทดลองเมืองตัวและกทม.วิธีของการแผ่รังสีสู่ท้องฟ้า ทำให้สามารถนับได้ว่า การทำความเย็นด้วยวิธีนี้ ควรจะเป็นจริงได้ก็ในฝั่งเทคโนโลยีและแม่ศรษฎาศาสตร์ รายละเอียดของการทำวิจัยจะรายงานผลหลังจากการทดลองชุดหลังเรียบร้อยแล้ว ซึ่งจะใช้เวลาประมาณ 1 ปี

## **7. เอกสารอ้างอิง**

1. B. Bartoli, S. Catalanotti, B. Coluzzi, V. Cuomo, V. Silvestrini and G. Troise, Nocturnal and Diurnal Performances of Selective Radiators, Applied Energy 3, 1977, pp.267-286.
2. R.H.B. Exell, Review Paper, The Atmospheric Radiation Climate of Thailand, Solar Energy Vol.21, pp. 73-79.
3. J.D. Holmann, Heat Transfer, Fifth Edition, McGraw-Hill, 1981.
4. Sherwood B. Idso and Ray D. Jackson, Thermal Radiation from the Atmosphere, Journal of Geophysical Research, Vol.74, No.23, October 20, 1969, pp. 5397-5403.
5. Melchor Centeno V., New Formulate for the Equivalent Night Sky Emissivity, Solar Energy Vol. 28, No.6, pp.489-498.
6. Paul Berdahl and Mario Martin, Technical Note Emissivity of Clear Skies, Solar Energy Vol.32, No.5, pp.663-664

## សម្រាប់ការងារ

$T_a$  = Ambient Temperature

$\sigma$  = Boltzmann's Constant =  $5.669 \times 10^{-8} \text{ W/m}^2 \cdot \text{K}^4$

$\bar{\epsilon}$  = Emissivity of Sky

$\epsilon_0$  = Emissivity of Clear Sky

$T_e$  = Equivalent Sky Temperature

$T$  = Surface Temperature (K)

$R$  = Radiative Flux ( $\text{W/m}^2$ )

$R_b$  = Radiative Flux of Black Surface ( $\text{W/m}^2$ )